

بررسی رفتار آیروالاستیک بال کامپوزیتی در جریان تراکم‌پذیر

تورج فرسادی^۱، حسن حدادپور^۲، سید علی سینا^۳

دانشکده مهندسی هواپیما، دانشگاه صنعتی شریف

تاریخ دریافت مقاله: ۱۴۸۹/۰۵/۱۶

تاریخ ارزیابی نهایی: ۱۴۹۰/۰۹/۲۷

چکیده

در این مقاله رفتار آیروالاستیک بال ساخته شده از مواد مرکب در جریان تراکم‌پذیر بررسی شده است. برای شبیه‌سازی رفتار سازه بال از تیر ساخته شده از مواد غیر ایزوتروپ که دارای سطح مقطع بسته با دیوارهای نازک / ضخیم است، استفاده شده است. برای ایجاد همبندی مناسب بین مودهای خمش و پیچش، روش لایه‌چینی سختی معیطی نامتقارن به کار گرفته شده است. برای شبیه‌سازی آیرودینامیک ناپایای تراکم‌پذیر نیز از روش آیرودینامیک نواری براساس استفاده از توابع اندیسی (Indicial Function) در محدوده تراکم‌پذیر استفاده شده است. در نهایت نتایج برای چند بال نمونه ارایه شده و با مراجع موجود مقایسه شده است.

کلیدواژه:

تیر جدار نازک، مواد مرکب، آیروالاستیکیت، جریان تراکم‌پذیر ناپایای.

مقدمه

موdal کلاسیک توانایی قطعی کردن سیستم را ندارد. برای حل سیستم غیرپایه‌تار، نیاز به جداسازی متغیرها به شکل فضایی حالت وجود دارد. همچنین بارهای آیرودینامیکی ناپایای نیز به شکل سازگار که فضایی حالت نامیده می‌شود، تبدیل شده است. یکی از مزایای این شکل نوشتمن معادلات این است که به راحتی می‌توان کنترل را به آن اضافه نمود [۲].

در مطالعات اولیه [۳-۵] سازه‌ی بال به صورت تیر غیر ایزوتروپ با استفاده از ترکیب تیر خمشی اویلر-برنولی و تیر پیچشی سنت و نانت مدل شده بود. کراولی و همکاران در کارهایشان [۶] و [۷] اثر وارپینگ را بر ارتعاشات پیچشی یک تیر که دارای کوپلینگ خمش - پیچش بود، را بررسی کردند. کازا و کیل [۸] ارتعاشات پیچشی تیری چرخان که از ابتدا دارای زاویه پیش‌پیچش بود و نسبت منظری آن تغییر می‌کرد را با در نظر گرفتن اثرات اعوجاج بررسی کردند. آنها پیشنهاد کردند که اثرات اعوجاج حتی یک پره ایزوتروپ نیز باقیستی در نظر گرفته شود. سانگ و لیرسکو [۹] اثر وارپینگ اولیه و ثانویه را در مدل‌سازی یک تیر کامپوزیتی جدار نازک معرفی و بررسی کردند. اولین بار تیم‌شینکو [۱۰] اثر تغییر شکل برش عرضی را در مدل‌سازی تیر وارد کرد. بعد از او دبویس [۱۱] و جاکوبسن [۱۲] این اثر را بر فرکانس‌های طبیعی تیر فلزی یکنواخت و یکسرگیردار بررسی

نیاز به انعطاف‌پذیری زیاد در هواپیماهای سرعت بالا، رویکرد جدیدی در طراحی این نوع پرنده‌ها ایجاد کرده است. برای رسیدن به چنین اهدافی، باید مفاهیم پیشرفته طراحی که منجر به افزایش کیفیت پاسخ استاتیکی و دینامیکی هواپیما می‌شود، مورد بررسی قرار گیرد. یکی از راههای رسیدن به اهداف فوق استفاده از مواد مرکب در سازه‌های هوایی است [۱]. خواص جهت‌دار مواد مرکب این قابلیت را می‌دهد که همبند الاستیک مناسب و دلخواه با انتخاب صحیح زوایای لایه‌ها به دست آید. با توجه به نیاز روز افزون به استفاده از مواد مرکب در سازه‌های هوایی و به خصوص بال هواپیما، لزوم بررسی اثر پارامترهای مختلف از جمله زوایای الیاف و نحوه لایه‌چینی مواد مرکب در مرزهای ناپایداری آیروالاستیک نظیر فلاتر و واگرایی مشخص می‌شود.

با توجه به ماهیت غیرپایه‌تار مساله، روش آنالیز مodal کلاسیک برای حل این مساله مقدار ویژه / مقدار مرزی قابل استفاده نیست. دلیل غیرپایه‌تار بودن مساله وجود عبارت میرایی آیرودینامیکی در مساله است، که در این صورت روش آنالیز

۱. کارشناس farsadi@gmail.com

۲. استاد Haddadpour@sharif.edu

۳. دانشجوی دکترا sasina@ae.sharif.edu

- فرض شده است که مولفه‌های تنش محیطی (N_{ss}) در مقایسه با سایر مولفه‌های تنش قابل صرف نظر کردن هستند. (چون از تنش‌های برشی در راستای محیطی صرف نظر شده است)

- تمامی تغییر شکل‌ها کوچک بوده و تئوری خطی الاستیسیته قابل اعمال است.

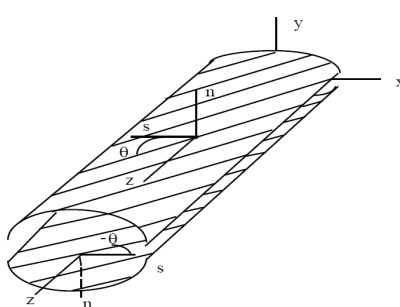
همچنین شایان ذکر است که بر پایه‌ی فرض اول، کرنش‌های ($\gamma_{ns}, \varepsilon_{ss}, \varepsilon_{nn}$) بایستی صفر در نظر گرفته شوند. اما این فرض باعث پیش‌بینی بیش از حد واقع برای مقادیر سختی می‌شود. بنابراین به عنوان جایگزین فرض می‌کنیم که تنش یا مولفه‌های تنش متاظر صفر هستند. با توجه به فرضیات فوق و جهت تبدیل مساله سه بعدی به یک مساله یک بعدی، میدان جابجایی به صورت زیر فرض می‌شود، که در آن:

$$\begin{aligned} u(x, y, z, t) &= u_0(z, t) - y\phi(z, t) \\ v(x, y, z, t) &= v_0(z, t) + x\phi(z, t) \\ w(x, y, z, t) &= w_0(z, t) + \theta_x(z, t) \left[y(s) - n \frac{dx}{ds} \right] \\ &+ \theta_y(z, t) \left[x(s) + n \frac{dy}{ds} \right] - \phi'(z, t) [F_w(s) + na(s)] \end{aligned} \quad (1)$$

$$\begin{aligned} \theta_x(z, t) &= \gamma_{yz}(z, t) - v'_0(z, t) \\ \theta_y(z, t) &= \gamma_{xz}(z, t) - u'_0(z, t) \\ a(s) &= -y(s) \frac{dy}{ds} - x(s) \frac{dx}{ds} \end{aligned} \quad (2)$$

در روابط فوق ($\theta_y(z, t), \theta_x(z, t)$) چرخش حول محورهای yz , xz , xy بوده و γ_{xz} , γ_{yz} کرنش برشی عرضی در صفحات xy را به ترتیب مشخص می‌کنند.

با استفاده از میدان جابجایی و فرضیات مطرح شده میدان کرنش به دست می‌آید و سپس با استفاده از قانون هوک تنش و منتجه‌های آن به دست می‌آید. برای مطالعه بیشتر در خصوص مدل سازه به مرجع [۹] مراجعه شود.



شکل ۱. لایه‌چینی به روش سختی نامتقارن محیطی

کردن. کین و لیرسکو [۱۳] رفتار آیروالاستیک بال کامپوزیتی را با لایه‌چینی خاص مطالعه نمودند و در نهایت حدادپور و همکاران [۱۴] مزهای پایداری تیر جدار نازک را با استفاده از روش تعییم یافته‌ی گلرکین، در جریان تراکم ناپذیر در حالت عام به دست آوردند.

در ادامه‌ی کارهای انجام شده، در این مقاله بال‌هواپیما به صورت تیر جدار نازک ساخته شده از مواد مرکب با سطح مقطع بسته مدل خواهد شد. در ادامه با استفاده از آیروالاستیک ناپایا تراکم‌پذیر معادلات آیروالاستیک بال استخراج خواهد شد. سپس با روش تعییم یافته گلرکین معادلات به شکل فضایی حالت تبدیل شده و مساله‌ی مقدار ویژه حل شده و مزهای پایداری به دست خواهد آمد. سپس با حل معادلات در حوزه زمان پاسخ آیروالاستیک بال به دست خواهد آمد.

الگوی سازه‌ای تیر جدار نازک

تیر جدار نازک در نظر گرفته شده، از مواد مرکب ساخته شده است. الگوی سازه‌ای تیر شامل بعضی از اثرات غیرکلاسیک نظری اثر برش عرضی، اثر وارپینگ اولیه و ثانویه و اثر اینرسی چرخشی است. همچنین از میان انواع لایه‌چینی، روش سختی محیطی نامتقارن (شکل ۱)، انتخاب شد که با این انتخاب همبندی‌های مناسبی جهت عملکرد بال‌هواپیما به دست می‌آید. الگوی سازه‌ی تیر جدار نازک از کار شادمهری و حدادپور الگوبرداری شده است [۱۴].

در مدل تیر اثرات غیرکلاسیک زیر در نظر گرفته شده است:

- غیرایزوتروپ بودن موادی که لایه‌ها از آن ساخته شده است.

- اثرات تغییر شکل برش عرضی

- مدل پیچشی غیر یکنواخت، بدین مفهوم که نرخ پیچش

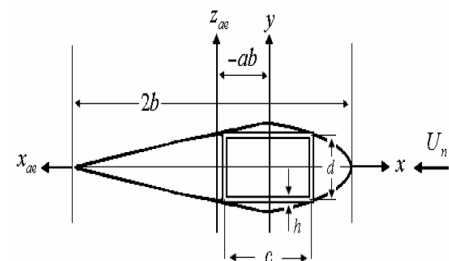
$\frac{d\phi}{dx}$ ثابت فرض نمی‌شود بلکه تابعی از طول تیر در نظر گرفته می‌شود.

- اثرات اعوجاج اولیه و ثانویه

به دلیل در نظر گرفتن اثرات برش عرضی این معادلات قابلیت مدل‌سازی تیر جدار ضخیم و همچنین مدل‌سازی مواد با انعطاف‌پذیری بالا در برش را دارا هستند. علاوه بر موارد فوق

فرضیات زیر نیز در این مدل‌سازی در نظر گرفته شده است:

- سطح مقطع تیر در صفحه سطح مقطع دچار تغییر شکل نمی‌شود.



شکل ۲. مختصات آبرودینامیکی و سازه‌ای

الاستیک مشتمل بر یک جریان غیرچرخشی و یک جریان چرخشی بیان می‌شود. جریان چرخشی از جریان آزاد و نیز اثرات جریان منظم پائینی (گرداب‌ها) نسبت به محور الاستیکی که عمود بر خطوط وتری است، متاثر است. مولفه‌ی غیرچرخشی نیروی برا و گشتاور آبرودینامیکی اثر جرمی مجازی بوده که در مقایسه با مولفه جریان چرخشی کوچک است. ولی در جریان تراکم پذیر اثر جرم مجازی مفهوم خود را از دست می‌دهد و بنابراین در فرمول‌ها فقط از قسمت چرخشی استفاده می‌شود [۱۵]. مدل آبرودینامیکی بر پایه‌ی توابع نمائی روش عمومی و راحت و کارآمد برای توصیف جریان ناپایدار تراکم پذیر است [۱۵].

این اصل در حقیقت از نکات زیر بر می‌آید:

- هر کجا که فرضیه خطی معتبر باشد، زمانی که توابع نمائی مناسب در دسترس باشد، نیروهای آبرودینامیکی ناپایدار برای حرکت‌های کوچک دلخواه می‌تواند بر اساس انتگرال کانولوشن به دست آید.
- توابع نمائی مورد بحث می‌توانند توسط تقریب‌های مختلفی مانند CFD یا بوسیله‌ی روش‌های تجربی به دست آید.

در جریان تراکم ناپذیر نیروی برا و گشتاور آبرودینامیکی شامل یک عبارت توابع نمائی می‌شود، ولی در جریان تراکم پذیر این توابع شامل چهار عبارت توابع نمائی می‌شود. توابع نمائی در جریان تراکم پذیر شامل توابع $\phi_c, \phi_{cM}, \phi_{cq}$ و ϕ_{cMq} در لبه‌ی حمله می‌باشند و توابع نمائی برا و گشتاور تراکم پذیر نامیده می‌شوند که به زاویه‌ی پیچش α و نرخ زاویه‌ی پیچش q مربوط می‌شوند. قسمت چرخشی نیروی برا شامل دو بخش سرعت عمودی و سرعت زاویه‌ای است. توابع نمائی مربوط به هر دو بخش در فاصله‌ی $b(a+1)$ پشت لبه‌ی حمله شامل $\bar{\phi}_c(t), \bar{\phi}_{cq}(t), \bar{\phi}_{cM}(t)$ و $\bar{\phi}_{cMq}(t)$ است. برای گشتاور آبرودینامیکی نیز به همین ترتیب شامل مقادیر $\bar{\phi}_{cMq}(t)$ می‌شود.

با تعریف فروشار به شکل زیر:

$$w_a(x, z, t) = [\dot{v}_0 - U_n \phi] - x[\dot{\phi}] \triangleq \hat{w}_a(z, t) - x\hat{\phi}_a(z, t). \quad (7)$$

نیروی برا و گشتاور پیچشی آبرودینامیکی به شکل زیر بیان می‌شود:

دستگاه معادله‌ی حرکت سازه از اصل همیلتون تعیین یافته که در رابطه ۳ ارائه شده است، به دست می‌آید.

$$\int_{t_1}^{t_2} (\delta T - \delta V + \delta W) dt = 0 \quad (3)$$

$$\delta u_0 = \delta v_0 = \delta w_0 = \delta \theta_x = \delta \theta_y = \delta \phi = 0$$

$$at \quad t = t_1, t_2$$

انرژی جنبشی سیستم:

$$T = \frac{1}{2} \int_0^L \int_C \sum_{k=1}^N \int_{h(k)} \rho^{(k)} \left[\left(\frac{\partial u}{\partial t} \right)^2 + \left(\frac{\partial v}{\partial t} \right)^2 + \left(\frac{\partial w}{\partial t} \right)^2 \right] dndsdz \quad (4)$$

و انرژی پتانسیل به صورت زیر تعریف می‌شود.

$$V = \frac{1}{2} \int_{\tau} \sigma_{ij} \varepsilon_{ij} d\tau = \frac{1}{2} \int_0^L \int_C \sum_{k=1}^N \int_{h(k)} [\sigma_{zz} \varepsilon_{zz} + \sigma_{sz} \varepsilon_{sz} + \sigma_{nz} \varepsilon_{nz}]_{(k)} dndsdz \quad (5)$$

و در نهایت کار نیروهای خارجی نیز به شکل زیر تعریف می‌شود.

$$\delta W = \int_0^L (p_x(z, t) \delta u_0(z, t) + p_y(z, t) \delta v_0(z, t) + p_z(z, t) \delta w_0(z, t) + m_x(z, t) \delta \theta_x(z, t) + m_y(z, t) \delta \theta_y(z, t) + (m_z + b'_w) \delta \phi(z, t)) dz \quad (6)$$

آبرودینامیک تراکم پذیر ناپایا

به طور کلی برای الگوسازی آبرودینامیک مسائل آبروالاستیکه سه دیدگاه وجود دارد که شامل استفاده از مفاهیمی نظری جریان پایا، جریان شبه پایا و جریان ناپایا در رژیم‌های مختلف پروازی می‌شود. جریان‌های پایا و شبه پایا در پیش‌بینی محدوده‌ی فلاتر دارای خطای هستند. بنابراین برای محاسبه‌ی رفتار آبروالاستیک واقعی باید از جریان ناپایا استفاده نمود. تئوری‌های تحلیلی آبرودینامیک ناپایا سه بعدی با فرض نسبت منظری بالای بال و کم بودن اثرات سه بعدی توسعه یافته‌اند و در بال‌های با نسبت منظری پائین دارای خطای زیادی هستند.

به طور کلی ضرایب نیروی برا و گشتاور آبرودینامیکی برای جریان تراکم ناپذیر روی مقاطع بال بر حسب دو مولفه نسبت به محور

$$\begin{aligned} D_1(z, t) &= \frac{\bar{\alpha}_{0_c} \hat{w}_a(z, t)}{U_n} - \sum_{i=1}^3 \bar{\alpha}_{i_c} B_{i_c}(z, t), \\ D_2(z, t) &= \frac{2b\bar{\alpha}_{0_{eq}} \hat{\phi}_a(z, t)}{U_n} - \sum_{i=1}^3 \bar{\alpha}_{i_{eq}} B_{i_{eq}}(z, t), \\ D_3(z, t) &= \frac{\bar{\alpha}_{0_{cM}} \hat{w}_a(z, t)}{U_n} - \sum_{i=1}^3 \bar{\alpha}_{i_{cM}} B_{i_{cM}}(z, t), \\ D_4(z, t) &= \frac{2b\bar{\alpha}_{0_{cMq}} \hat{\phi}_a(z, t)}{U_n} - \sum_{i=1}^3 \bar{\alpha}_{i_{cMq}} B_{i_{cMq}}(z, t). \end{aligned} \quad (12)$$

در نهایت برای نیروی برآ و ممان آبرودینامیکی داریم:

$$\begin{aligned} L_{ae}(z, t) &= \frac{1}{2} C_{L\phi} \rho U_n^2 (2bL) \times \\ &\left[\frac{\bar{\alpha}_{0_c} \hat{w}_a(z, t)}{U_n} - \sum_{i=1}^3 \bar{\alpha}_{i_c} B_{i_c}(z, t) \right. \\ &\left. + \frac{2b\bar{\alpha}_{0_{eq}} \hat{\phi}_a(z, t)}{U_n} - \sum_{i=1}^3 \bar{\alpha}_{i_{eq}} B_{i_{eq}}(z, t) \right], \end{aligned} \quad (13)$$

$$\begin{aligned} T_{ae}(z, t) &= \frac{1}{2} C_{L\phi} \rho U_n^2 (2b)(2bL) \times \\ &\left[\frac{\bar{\alpha}_{0_{cM}} \hat{w}_a(z, t)}{U_n} - \sum_{i=1}^3 \bar{\alpha}_{i_{cM}} B_{i_{cM}}(z, t) \right. \\ &\left. + \frac{2b\bar{\alpha}_{0_{cMq}} \hat{\phi}_a(z, t)}{U_n} - \sum_{i=1}^3 \bar{\alpha}_{i_{cMq}} B_{i_{cMq}}(z, t) \right]. \end{aligned} \quad (14)$$

در این معادلات B_i ها در رابطه ۱۲ معرفی شده‌اند و باستی دسته معادله زیر را ارضا کنند.

$$\begin{aligned} \dot{B}_{i_c}(z, t) + (\beta_{i_c} \frac{U_n}{b}) B_{i_c}(z, t) &= \frac{1}{U_n} \frac{d\hat{w}_a(z, t)}{dt}, \\ \dot{B}_{i_{eq}}(z, t) + (\beta_{i_{eq}} \frac{U_n}{b}) B_{i_{eq}}(z, t) &= \frac{2b}{U_n} \frac{d\hat{\phi}_a(z, t)}{dt}, \\ \dot{B}_{i_{cM}}(z, t) + (\beta_{i_{cM}} \frac{U_n}{b}) B_{i_{cM}}(z, t) &= \frac{1}{U_n} \frac{d\hat{w}_a(z, t)}{dt}, \\ \dot{B}_{i_{cMq}}(z, t) + (\beta_{i_{cMq}} \frac{U_n}{b}) B_{i_{cMq}}(z, t) &= \frac{2b}{U_n} \frac{d\hat{\phi}_a(z, t)}{dt}. \end{aligned} \quad (15)$$

الگوی آبروداستیک ناپایای تراکم پذیر

با در نظر گرفتن اندرکنش سازه و سیال دستگاه معادله‌ی آبروداستیک به دست می‌آید. معادلات حاکم و شرایط مرزی سیستم آبروداستیک را می‌توان از اصل همیلتون تعیین یافته به دست آورد. با در نظر گرفتن نیروی برآ بر واحد طول بال و ممان پیچشی آبرودینامیکی حول محور مرجع و لایه‌چینی سختی محیطی نامتقارن و با صرف نظر کردن از زاویه پیچش اولیه، کل معادلات حرکت حاکم بر سیستم و شرایط مرزی مربوطه به دو دسته‌ی مجزا تقسیم می‌گردند که معادلات حاکم بر خمس، پیچش و خمس عرضی مورد بررسی قرار می‌گیرند. این معادلات در ادامه آمده است.

$$\begin{aligned} L_{ae}(z, t) &= \frac{1}{2} C_{L\phi} \rho U_n^2 (2bL) \times \\ &\left[\frac{\hat{w}_a(z, 0)}{U_n} \bar{\phi}_c(t) + \int_0^t \frac{1}{U_n} \frac{d\hat{w}_a(z, \sigma)}{d\sigma} \bar{\phi}_c(t - \sigma) d\sigma \right. \\ &\left. + \frac{2b\hat{\phi}_a(z, 0)}{U_n} \bar{\phi}_{eq}(t) + \frac{2b}{U_n} \int_0^t \frac{d\hat{\phi}_a(z, \sigma)}{d\sigma} \bar{\phi}_{eq}(t - \sigma) d\sigma \right] \end{aligned} \quad (16)$$

$$\begin{aligned} T_{ae}(z, t) &= \frac{1}{2} C_{L\phi} \rho U_n^2 (2b)(2bL) \times \\ &\left[\frac{\hat{w}_a(z, 0)}{U_n} \bar{\phi}_{cM}(t) + \int_0^t \frac{1}{U_n} \frac{d\hat{w}_a(z, \sigma)}{d\sigma} \bar{\phi}_{cM}(t - \sigma) d\sigma \right. \\ &\left. + \frac{2b\hat{\phi}_a(z, 0)}{U_n} \bar{\phi}_{cMq}(t) + \frac{2b}{U_n} \int_0^t \frac{d\hat{\phi}_a(z, \sigma)}{d\sigma} \bar{\phi}_{cMq}(t - \sigma) d\sigma \right] \end{aligned} \quad (17)$$

برای تبدیل L_{ae} , T_{ae} به شکل فضایی حالت، از تقریب چندجمله‌ای شیوه رابطه ۱۰ برای توابع نمایی استفاده می‌شود. این توابع شامل ضرایب مشخصی هستند که برای هر ماخ پروازی در رژیم‌های پروازی مختلف به دست آمده‌اند [۱۵]. برای اصلاح قسمت چرخشی نیروی برآ و گشتاور الگوی آبرودینامیکی تراکم پذیر ناپایای از توابع اندیسی که در رابطه ۱۰ ارائه شده، استفاده شده است. که شامل توابع نمایی، نیروی برآ و گشتاور تراکم پذیر مربوط به زاویه‌ی پیچش و نرخ زاویه‌ی پیچش می‌شوند.

$$\begin{aligned} \bar{\phi}_c(t) &= \phi_c(t), \\ \bar{\phi}_{cM}(t) &= \phi_{cM}(t) + \left(\frac{a}{2} + \frac{1}{2} \right) \phi_c(t), \\ \bar{\phi}_{eq}(t) &= \phi_{eq}(t) - \left(\frac{a}{2} + \frac{1}{2} \right) \phi_c(t), \\ \bar{\phi}_{cMq}(t) &= \phi_{cMq}(t) + \left(\frac{a}{2} + \frac{1}{2} \right) (\phi_{eq}(t) - \phi_{cM}(t)) \\ &\quad - \left(\frac{a}{2} + \frac{1}{2} \right)^2 \phi_c(t). \end{aligned} \quad (18)$$

$$\phi_{i_{eq} cM cMq}(M, \tau) = \left[\alpha_{0(c, eq, cM, cMq)}(M) - \sum_{i=1}^3 \alpha_{i(c, eq, cM, cMq)}(M) \exp(-\beta_i \tau) \right] H(\tau).$$

که در آن $H(\tau)$ تعریف تابع پله هوی سایداست. با فرض

$$\begin{aligned} \int_0^t \frac{1}{U_n} \frac{d\hat{w}_a(z, \sigma)}{d\sigma} \bar{\phi}_c(t - \sigma) d\sigma &= D_1(z, t), \\ \frac{2b}{U_n} \int_0^t \frac{d\hat{\phi}_a(z, \sigma)}{d\sigma} \bar{\phi}_{eq}(t - \sigma) d\sigma &= D_2(z, t), \\ \int_0^t \frac{1}{U_n} \frac{d\hat{w}_a(z, \sigma)}{d\sigma} \bar{\phi}_{cM}(t - \sigma) d\sigma &= D_3(z, t), \\ \frac{2b}{U_n} \int_0^t \frac{d\hat{\phi}_a(z, \sigma)}{d\sigma} \bar{\phi}_{cMq}(t - \sigma) d\sigma &= D_4(z, t). \end{aligned} \quad (19)$$

عبارات زیر به دست می‌آیند:

و در شکل فشرده‌تر به صورت زیر در آمده است:

$$\begin{aligned} \{\dot{\mathbf{X}}\} &= [\mathbf{A}]\{\mathbf{X}\}, \\ [\mathbf{A}] &= -\begin{bmatrix} \mathbf{C}_{ae} & \mathbf{M}_{ae} + \mathbf{M}_s \\ [\mathbf{I}] & [\mathbf{0}] \end{bmatrix}^{-1} \begin{bmatrix} \mathbf{K}_{ae} + \mathbf{K}_s & [\mathbf{0}] \\ [\mathbf{0}] & [-\mathbf{I}] \end{bmatrix} \quad (24) \end{aligned}$$

برای به دست آوردن مساله مقدار ویژه مرتبط با رابطه ۲۴ حل

آن به صورت زیر در نظر گرفته می‌شود:

$$\mathbf{X} = xe^{\lambda\tau} \quad (25)$$

با جایگزینی رابطه فوق در رابطه ۲۴ مساله مقدار ویژه زیر

به دست خواهد آمد.

$$Ax = \lambda x \quad (26)$$

با حل این مساله، مقادیر ویژه و بردارهای ویژه که هر دو مختلط هستند، به دست می‌آید. بخش حقیقی مقادیر ویژه معرف دمینگ و بخش مختلط آن نشانگر فرکانس است. چنانچه سرعت جریان روی بال را افزایش دهیم، در فرکانسی خاص یکی از مقادیر دمینگ مثبت شده که بیانگر شروع ناپایداری بال است. چنانچه فرکانس مقدار ویژه مربوطه صفر باشد ناپایداری از نوع واگرایی بوده و اگر مخالف صفر باشد، ناپایداری از نوع فلاتر است، با حل معادلات در حوزه‌ی زمانی پاسخ آبروالاستیک تیر به دست آمده است.

نتایج

اعتبارسنجی الگوی آبروالاستیک تراکم پذیر

برای ارزیابی صحت نتایج مدل آبروالاستیک جریان تراکم پذیر از مرجع [۱۶] استفاده شده است. این مرجع گزارش ناسا جهت پیدا کردن سرعت و فرکانس فلاتر برای تستهای آزمایشگاهی انجام شده در مدل‌های مختلفی از بال در جریان‌های تراکم پذیر می‌باشد، مقاطع بالا از نوع NACA 010-16 هستند. مشخصات هندسی و مکانیکی دو نوع بال در نظر گرفته شده و نتایج حاصل از کار حاضر با نتایج آزمایش تونل باد از مرجع [۱۶] در جدول ۲ مقایسه شده است که صحت برنامه تهیه شده را تایید می‌کند.

جدول ۱. خصوصیات مکانیکی و هندسی ماده ایزوتrop [۱۶]

	مدل ۴۰a-۲	مدل ۴۰a-۳
$EI(Nm^2)$	۱۵	۱۵
$GJ(Nm^2)$	۱۰/۱۵	۱۰/۱۵
$L(m)$	۰/۶۲۹۹	۰/۶۲۹۹
$b(m)$	۰/۰۵۰۹	۰/۰۵۰۹
a	-۰/۲	-۰/۲
$I_\alpha(Kg \frac{m^2}{m})$	۰/۰۰۰۲۴	-۰/۰۰۰۲۴
$m(\frac{Kg}{m})$	۰/۳۳۸	۰/۳۳۹
$\rho_{air}(\frac{Kg}{m^3})$	۱/۷۲۱۴	۱/۱۰۸۱

$$\begin{aligned} \delta v_0 : a_{55}(v'_0 + \theta'_x) + a_{56}\phi''' + L_{ae} &= b_1\ddot{v}_0 \\ \delta\theta_x : a_{33}\theta'_x + a_{37}\phi'' - a_{55}(v'_0 + \theta'_x) - a_{56}\phi'' + m_x &= \\ (b_4 + b_{14})\ddot{\theta}_x & \\ \delta\phi : a_{65}(v''_0 + \theta''_x) - a_{66}\phi''''' + a_{73}\theta''_x + a_{77}\phi'' + T_{ae} &= \\ (b_4 + b_5)\ddot{\phi} - (b_{10} + b_{18})\ddot{\phi}'' & \end{aligned} \quad (16)$$

و شرایط مرزی در $z = 0$ به صورت:

$$v_0 = \theta_x = \phi = \phi' = 0 \quad (17)$$

و در $z = L$ به صورت زیر است:

$$\begin{aligned} \delta v_0 : a_{55}(v'_0 + \theta'_x) - a_{56}\phi''' &= 0 \\ \delta\theta_x : a_{33}\theta'_x + a_{37}\phi' &= 0 \\ \delta\phi : a_{65}(v''_0 + \theta''_x) - a_{66}\phi''''' + a_{73}\theta''_x + a_{77}\phi' &= \\ -(b_{10} + b_{18})\ddot{\phi}' & \\ \delta\phi' : a_{56}(v'_0 + \theta'_x) - a_{66}\phi'' &= 0 \end{aligned} \quad (18)$$

برای حل این دستگاه از روش تعمیم یافته‌ی گلرکین استفاده خواهد شد، بدین منظور متغیرهای سازه‌ای و آبرو دینامیکی به توابع زمانی و مکانی گستته شده است.

$$\begin{aligned} v_0(z, t) &= \Psi_v^T(z)q_v(t) \\ \theta_x(z, t) &= \Psi_x^T(z)q_x(t) \\ \phi(z, t) &= \Psi_\phi^T(z)q_\phi(t) \\ &\vdots \\ &\vdots \\ &\vdots \\ B_{1cMq}(z, t) &= \Psi_{B_{1cMq}}^T(z)q_{B_{1cMq}}(t) \\ B_{2cMq}(z, t) &= \Psi_{B_{2cMq}}^T(z)q_{B_{2cMq}}(t) \\ B_{3cMq}(z, t) &= \Psi_{B_{3cMq}}^T(z)q_{B_{3cMq}}(t) \end{aligned} \quad (19)$$

که در آن Ψ توابع شکل هستند که با استی شرایط مرزی هندسی را ارضانمایند. ماتریس متغیرهای زمانی برای جریان تراکم پذیر به صورت زیر تعریف می‌شوند.

$$\mathbf{q} = \begin{bmatrix} q_v^T & q_\phi^T & q_x^T & \dots & q_{B_{1cMq}}^T & q_{B_{2cMq}}^T & q_{B_{3cMq}}^T \end{bmatrix}^T \quad (20)$$

سپس با تشکیل ماتریس‌های جرم و سختی و دمینگ، معادله‌ی کلی آبروالاستیک به دست آمده است.

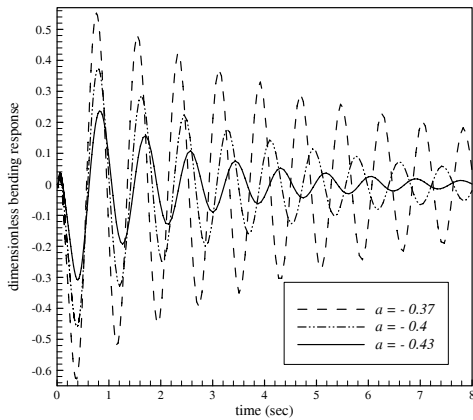
$$(M_s + M_{ae})\ddot{\mathbf{q}} + (\mathbf{C}_{ae})\dot{\mathbf{q}} + (\mathbf{K}_s + \mathbf{K}_{ae})\mathbf{q} = \{\mathbf{0}\} \quad (21)$$

با تعریف،

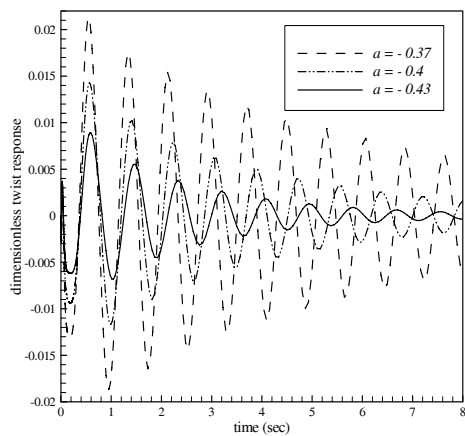
$$\mathbf{X} = \left\{ \left\{ \mathbf{q} \right\}^T, \dot{q}_v^T, \dot{q}_\phi^T, \dot{q}_x^T \right\}^T \quad (22)$$

شكل فضای حالت معادلات حاکم به صورت زیر در می‌آید:

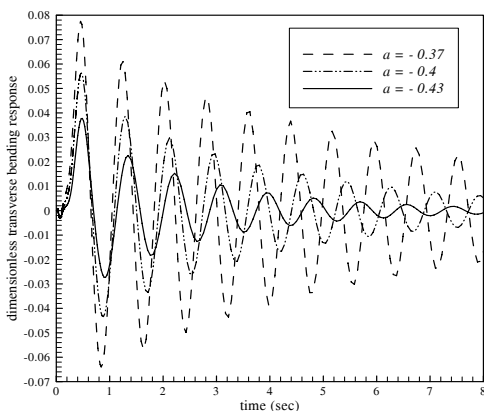
$$\begin{bmatrix} \mathbf{C}_{ae} & \mathbf{M}_{ae} + \mathbf{M}_s \\ [\mathbf{I}] & [\mathbf{0}] \end{bmatrix} \left\{ \dot{\mathbf{X}} \right\} + \begin{bmatrix} \mathbf{K}_{ae} + \mathbf{K}_s & [\mathbf{0}] \\ [\mathbf{0}] & [-\mathbf{I}] \end{bmatrix} \left\{ \mathbf{X} \right\} = \{\mathbf{0}\} \quad (23)$$



شکل ۳. پاسخ مود خمی برای تغییر مرکز الاستیک



شکل ۴. پاسخ مود پیچشی برای تغییر مرکز الاستیک



شکل ۵. پاسخ مود خمی عرضی برای تغییر مرکز الاستیک

پاسخ مودهای الگوی تیر بر حسب تغییرات زوایای الیاف
در بررسی پاسخ‌ها در رژیم پروازی تراکم‌پذیر به بررسی تاثیر لایه‌چینی الیاف بر پاسخ مودهای تیر پرداخته‌ایم. شکل‌های ۶ تا ۱۱ به ترتیب برای مودهای خمی و پیچشی و خمی عرضی برای زوایای الیاف -75° , -60° , -45° , -30° و -15° درجه رسم شده‌اند. ماخ پروازی الگوی در نظر گرفته شده $a = 0.62$ بوده و مقدار "a" در نظر

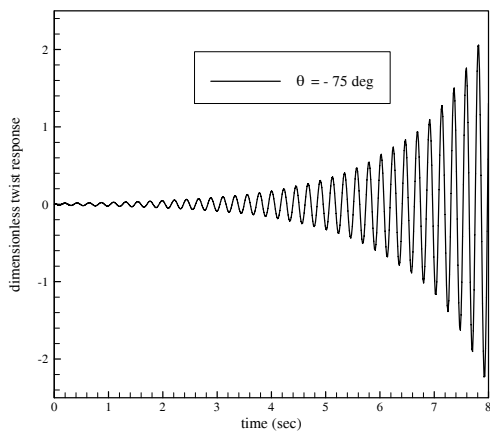
جدول ۲. مقایسه سرعت و فرکانس فلاٹر در کار حاضر و مرجع [۱۶]

مدل ۴۰a-۲ مدل ۴۰a			
نتایج تجربی [۱۶]	M_E	۰/۴۷۵	۰/۵۳
f_E (cps)	۵۶	۶۱	
نتایج حل تئوری [۱۶]	M_R	۰/۴۵	۰/۵۴
f_R (cps)	۴۹	۴۶	
نتایج کار حاضر در جریان تراکم‌پذیر	M_C	۰/۴۵۵	۰/۵۵
f_C (cps)	۵۵	۵۸	

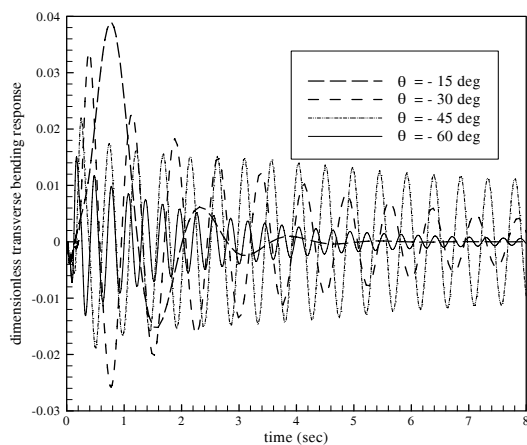
پاسخ مودهای الگوی تیر بر حسب تغییرات فاصله بین مرکز آبرودینامیک و مرکز الاستیک

در بالهای واقعی، بین مرکز آبرودینامیک و مرکز الاستیک فاصله‌ای وجود دارد که در شکل ۲ با اندازه‌ی "ab" مشخص شده است. این فاصله اثر مهمی بر روی پایداری آبرو والاستیک بال دارد. اشکال ۳ تا ۵ پاسخ نوسانات را برای ضرایب a برابر -0.43 و -0.37 نشان می‌دهند. با منفی‌تر شدن مقدار ضریب "a" سرعت فلاٹر افزایش یافته و بال می‌تواند در رژیم‌های پروازی تراکم‌پذیر نیز پرواز کند. برای مقادیر "a" ذکر شده سرعت پروازی در محدوده‌ی رژیم پروازی در نظر گرفته شده، قرار می‌گیرد. برای الگوی بال در نظر گرفته شده با زاویه‌ی لایه‌چینی -25° درجه و ماخ پروازی $0/6$ ، تاثیر ضرب "a" بر روی مودهای خمی و پیچشی و خمی عرضی بررسی شده است. با توجه به شکل ۳ برای مود خمی، دامنه‌ی پاسخ برای a برابر -0.43 کوچک‌تر از مقادیر $a = -0.37$ و -0.4 است و زمان میرا شدن کامل پاسخ نیز کوچک‌تر است. به طور کلی با منفی‌تر شدن مقدار "a" دامنه‌ی پاسخ‌ها کاهش پیدا کرده و زمان میرا شدن نوسانات کوتاه‌تر می‌شود. این زمان برای مود خمی در حدود ۸ ثانیه است.

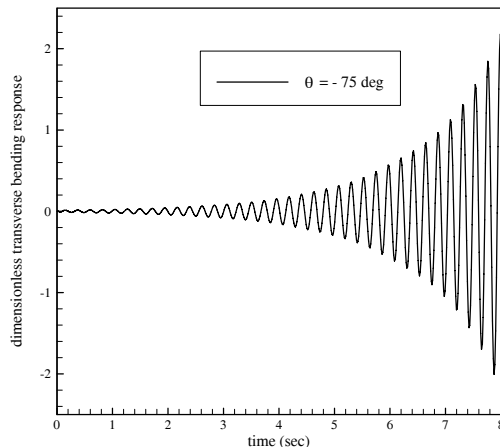
شکل‌های ۴ و ۵ پاسخ مودهای پیچشی و خمی عرضی را برای بال مدل فوق نشان می‌دهند، که رفتاری شبیه به پاسخ مود خمی دارند.



شکل ۹. پاسخ مود پیچشی برای تغییرات زوایای الاف

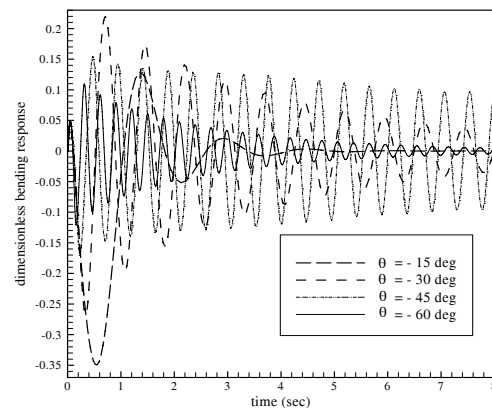


شکل ۱۰. پاسخ مود خمش عرضی برای تغییرات زوایای الاف

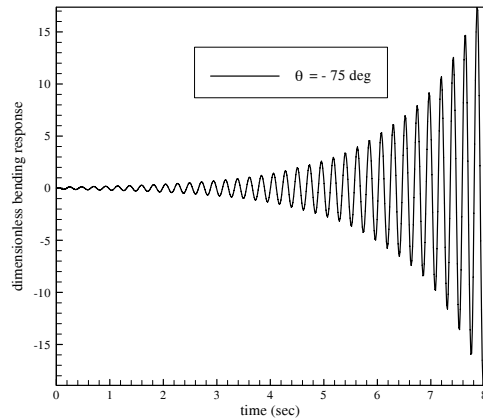


شکل ۱۱. پاسخ مود خمش عرضی برای تغییرات زوایای الاف

گرفته شده $-0/45$ است. شکل های ۶ و ۷ برای مود خمشی به دست آمده است. برای زاویه -75 -درجه فلاتر مشاهده می شود. بیشترین زمان لازم برای میرا شدن پاسخها در زاویه الاف -45 -درجه دیده می شود. در زوایای زیر -45 -درجه هر چه از زاویه صفر درجه به سمت -45 -درجه پیش می رویم دامنه ای پاسخها افزایش یافته و زمان میرایی پاسخها زیادتر می شود.

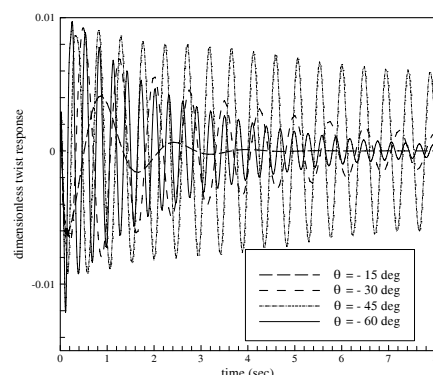


شکل ۶. پاسخ مود خمشی برای تغییرات زوایای الاف

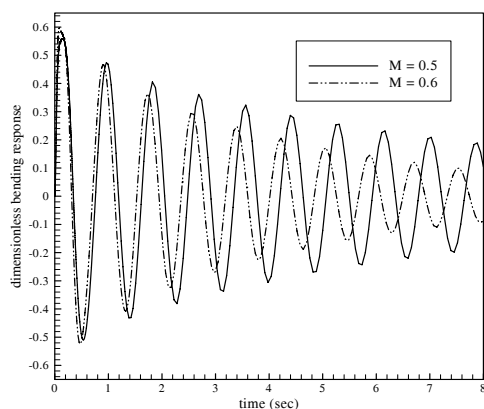


شکل ۷. پاسخ مود خمشی برای تغییرات زوایای الاف

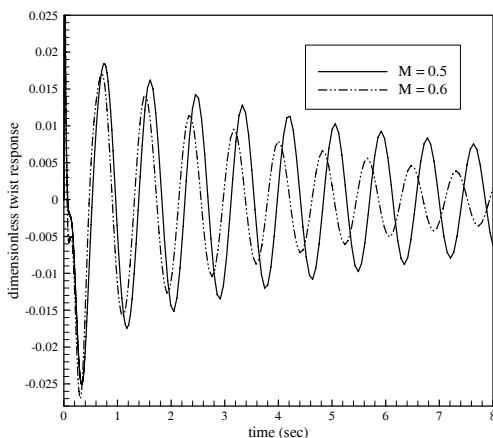
شکل های ۸ تا ۱۱ نیز رفتاری شبیه به رفتار پاسخ مود خمشی دارند.



شکل ۸. پاسخ مود پیچشی برای تغییرات زوایای الاف



شکل ۱۴. پاسخ مود خمش برای ماخ پروازی مختلف برای زاویه الیاف -30° درجه

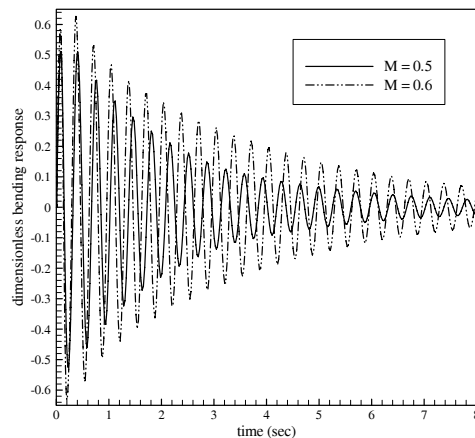


شکل ۱۵. پاسخ مود پیچش برای ماخ پروازی مختلف برای زاویه الیاف -60° درجه

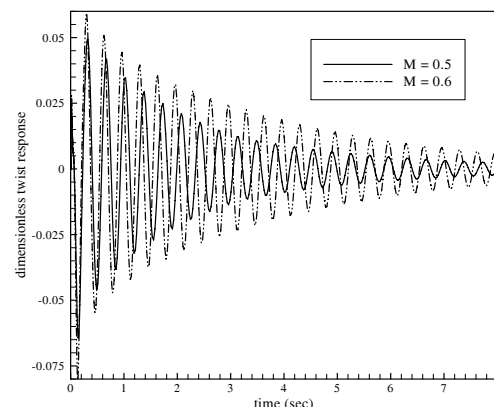
نتیجه

مقاله‌ی حاضر رفتار تیر ساخته شده از ماده‌ی مرکب را در جریان ناپایای تراکم‌پذیر مورد بررسی قرار داده است. برای این منظور نرم‌افزار شبیه‌ساز رفتار آیروالاستیک بال بدون سوئیپ کامپوزیتی براساس سازه‌ی تیر لیبرسکو و آیرودینامیک تراکم‌پذیر تهیه شده است. با بررسی نتایج به دست آمده از این نرم‌افزار مشاهده می‌شود فرکانس فلاتر برای زوایای الیاف مثبت صفر بوده و برای زوایای منفی دارای مقدار است. این بدان معنی است که ناپایداری برای زوایای مثبت به شکل واگرایی و برای زوایای منفی به شکل فلاتر رخ می‌دهد. همچنین با بررسی رفتار بال برای مودهای مختلف تیر مشاهده می‌شود که با حرکت هسته‌ی بال به سمت نوک بال و افزایش مقدار فاصله مرکز آیرودینامیکی بال و مرکز الاستیک و با منفی‌تر شدن مقدار "ab"، پایداری بال افزایش می‌یابد و پاسخ مودها در زمان‌های کوتاه‌تری میرا می‌شوند. در ادامه‌ی کار انجام

پاسخ مودهای الگوی تیر بر حسب تغییرات ماخ پروازی
شکل‌های ۱۲ تا ۱۵ تاثیر ماخ پروازی مختلف را بر روی پاسخ‌ها نشان می‌دهند. همان‌گونه که در بحث‌های قبل نیز گفته شد در جریان تراکم‌پذیر برای هر ماخ پروازی یکسری از ضرایب توابع نمایی تعریف می‌شود که با تغییر ماخ پروازی این ضرایب نیز در معادلات تغییر می‌کنند. پاسخ‌ها برای ماخ‌های پروازی $0^\circ/5^\circ/10^\circ/15^\circ$ رسم شده‌اند. در اشکال ۱۲ و ۱۳ زاویه‌ی الیاف برابر با -60° درجه و مقدار "a" برابر با $0^\circ/5^\circ$ می‌باشد و در اشکال ۱۴ تا ۱۵ زاویه‌ی الیاف برابر با -30° درجه و مقدار "a" برابر با $0^\circ/5^\circ$ می‌باشد. در مدل اول (شکل‌های ۱۲ و ۱۳) با افزایش ماخ پروازی دامنه‌ی پاسخ‌ها برای مود خمی و پیچشی افزایش پیدا می‌کند. همین طور زمان لازم برای میرا شدن پاسخ‌ها نیز افزایش پیدا می‌کند. ولی در مدل دوم (شکل‌های ۱۴ و ۱۵) با افزایش ماخ پروازی دامنه‌ی پاسخ‌ها کاهش می‌یابد و زمان میرایی نیز کوتاه‌تر می‌شود.



شکل ۱۲. پاسخ مود خمی برای ماخ پروازی مختلف برای زاویه الیاف برابر -60° درجه



شکل ۱۳. پاسخ مود پیچشی برای ماخ پروازی مختلف برای زاویه الیاف -60° درجه

- شده تغییرات ماخ پروازی هم لحاظ شده است که نشان می دهد مقادیر زاویه‌ی الیاف در شکل پاسخ‌ها برای افزایش ماخ پروازی تاثیر بسزایی دارد.
- مراجع**
9. Kaza K.R.V., and Kielb, R.E., "Effects of Warping and Pretwist on Torsional Vibration of Rotating Beams" Transactions of ASME, J. of Applied Mechanics, Vol. 51, Dec., 1984, pp. 913-920.
 10. Librescu, L., and Song, O., "Behavior of Thin-Walled Beams Made of Advanced Composite Materials and Incorporating Non-Classical Effects", Applied Mechanics Reviews, Vol. 44, No. 11, Part 2, 1991, pp. 174-180.
 11. Timoshenko, S.P., "On the Transverse Vibrations of Bars of Uniform Cross Section" Philosophical Magazine, Series 6, Vol 43, 1922, pp. 125-131.
 12. Davies, R.M., "The Frequency of Transverse Vibration of a Loaded Fixed-Free Bar: IV The Effects of Shearing of the Bar" Philosophical Magazine, Series 7, Vol. 23, 1937, pp. 1129-1145.
 13. Jacobsen, L.S., "Natural Frequencies of Uniform Cantilever Beams of Symmetrical Cross- Section" J. of Applied Mechanics, A-1, Vol. 5, 1938.
 14. Qin, Z., and Librescu, L., "Dynamic Aeroelastic Response of Aircraft Wings Modeled as Anisotropic Thin-Walled Beams" Journal of Aircraft, Vol. 40, No. 3, 2003.
 15. Haddadpour, H., Kouchakzadeh, M.A., and Shadmehri, F., "Aeroelastic instability of aircraft composite wings in an incompressible flow", Composite Structure, Vol. 83, 2008, pp 93-99.
 16. Marzocca, P., Librescu, L., and Chiocchia, G., "Aeroelastic response of a 2-D airfoil in a compressible flow field and exposed to blast loading", Aerospace Science and Technology, 2002, pp 259-272.
 17. Barmby, J. G., Cunningham, H. J., and Garrick, I. E., "Study of Effects of Sweep on the flutter of Cantilever Wing", NACA TN-2121. 1950.
 1. Hoskins, B.C. and Baker, A.A., "Composite Materials in Aircraft Structures", AIAA Educ. Series, Renton, VA. 1986,
 2. Qin, Z., "Vibration and Aeroelasticity of Advanced Aircraft Wings Modeled as Thin-Walled Beams—Dynamics, Stability and Control", Virginia Polytechnic Institute and State University, Ph.D. dissertation, 2001
 3. Weisshaar, T.A., "Aeroelastic Tailoring-Creative Use of Unusual Materials", AIAA Paper 87-97, AIAA/ASME/ASCE/AHS 28th Structures, Structural Dynamics and Materials Conference, April 9-10, 1987.
 4. Lazarus, K.B., Crawley, E.F. and Bohlmann, J.D., "Static Aeroelastic Control Using Strain Actuated Adaptive Structures" J. of Intelligent Material System and Structures, Vol. 2, July 1991, pp.386-410.
 5. Ehlers, S.M. and Weisshaar, T.A., "Static Aeroelastic Behaviour of an Adaptive Laminated Piezoelectric Composite Wing", Proceeding of the AIAA/ASME/ASCE/AHS
 6. ASC 31th Structures, Structural Dynamics and Materials Conference, Long Beach, CA, April 1990.
 7. Crawley, E.F. and Dugundji, J., "Frequency Determination and Nondimensionalization for Composite Cantilever Plates", Journal of Sound and Vibration, Vol. 72, No. 1, 1980, pp. 1-10.
 8. Crawley, E.F., and Jensen, D.W., "Frequency Determination Techniques for Cantilevered Plates with Bending-Torsion Coupling" AIAA J., Vol. 22, 1984, pp.415-420.